

核材-7031

鋁在高温动水系統中 腐蝕的綜合報告

中国科学院原子核科学委员会編輯委員會編輯

毛主席語錄

我們能夠学会我們原来不懂的东西。
我們不但善于破坏一个旧世界，我們还将
善于建設一个新世界。

《在中国共产党第七屆中央委員會
第二次全體會議上的報告》

內容簡介

本文对 Al 合金在高溫动水中的腐蝕問題进行了簡要的綜述。談到了 pH 值、溫度、緩蝕劑、熱传递、水流速度、輻照以及鋁腐蝕產物濃度等因素对 Al 合金腐蝕的影响。

本文譯自美國原子能委員會報告 HW-59778 Rev., R. J. Lobsinger 著, “Summary Report on the Corrosion of Aluminum in High Temperature Dynamic Water Systems” 1961 年 2 月。

目 录

一、引言.....	1
二、討論.....	1
三、pH 值和溫度	2
四、緩蝕劑.....	4
五、热传递.....	5
六、水流速度.....	7
七、輻照.....	8
八、鋁腐蝕產物溶解度的影響.....	8
九、今后的工作.....	10
附录.....	11

一、引　　言

鋁合金在高溫水中的試驗已進行几年了，這項試驗的主要工作是由鋁合金任務組的成員完成的。該組織是由美國原子能委員會船舶反應堆處(Naval Reactor Branch)建立的，最初，它是由下列機構的代表組成：船舶反應堆處，阿貢國立實驗室(ANL)，貝蒂斯(Bettis (BP))，美國鋁公司(ALCOA)和諾爾斯原子動力實驗室(Knolls Atomic Power Lab.)。後來，由於漢福特原子工廠(HANPO)對鋁合金感興趣並具有這方面的經驗，也加入了這個組織。最近，巴勃可克與威爾可克斯公司(Babcock and Wilcox Co.,)，阿利斯-卡爾曼製造公司(Allis-Chalmers, ACM)，杜邦公司(Du Pont)，加拿大原子能有限公司(AECL)，聯合碳化物公司(Union Carbide)和利諾爾德鋁公司(Reynolds Aluminum)相繼也參加了這個組織。

這些作者的許多報告通常是為一定的範圍而準備的。由於這個緣故，這些報告常常包括假設，同樣也包括數據。一些早期的概念現在看來是錯誤的，所以已被修改或替換了。因此對鋁任務組的文獻做了評述，以便獲得全部確切的數據，這些數據在本文也扼要列出。本文將不涉及到機密的或專門的項目，因為很多進展報告出版只供內部分發，因此不是有效的，個別稿件只能被進行這項工作的地點所承認。

二、討　　論

在許多地方所進行的試驗，對不同鋁合金的高溫抗腐蝕

性能进行了討論。最初研究的鋁合金有 X-2219, X-8001 和 M-400*。为了改善鋁合金的腐蝕行为，又发展和試驗了一些新的合金。新发展的合金基本上和上述三种合金相同，仅仅是鐵，鎳和銅含量的比例不同。利用含硅量低的超純鋁作基体金属，加入微量的 Ti, Be 和其他金属来制造改良的合金。首先作了这项工作的有 ANL, ALCOA 和 HAPO。在动态系統中鎳-鋁合金的合金化效应是很小的。这种合金虽然不降低腐蝕速率，然而当介质溫度升高时它并不破坏，这是它的主要优点。在采用 X-8001 合金时，溫度大約为 350—360°C。利用超純鋁作为基体金属制得的合金在 320°C 以下与 X-8001 合金差不多，但在 320°C 以上时，比 X-8001 合金优越得多。

由动水迴路得到的 X-8001 合金的数据大部分都收集起来了。这些数据可以拿来代表鋁-鎳合金在 320°C 动水迴路中的腐蝕。X-2219 的抗腐蝕性比 X-8001 稍差，因为它容易发生点腐蝕并且氧化物呈片状剥落。对鋁腐蝕起重要作用的因素是：pH 值，溫度，所用的緩蝕剂，热传递，水流速度，輻照以及鋁腐蝕产物在水中的重新溶解量。最后那个因素与鋁的腐蝕表面积，迴路中水的更新速度 (the loop water refreshment rate)，水的淨化速度，pH 值和溫度等自变量有关。所有这些变量都将在以后分別进行討論。

三、pH 值和溫度

这两个变量相互之間是有联系的，可以很好地放在同一

* 这些合金以及他一些鋁合金的成分已在附录里列出。

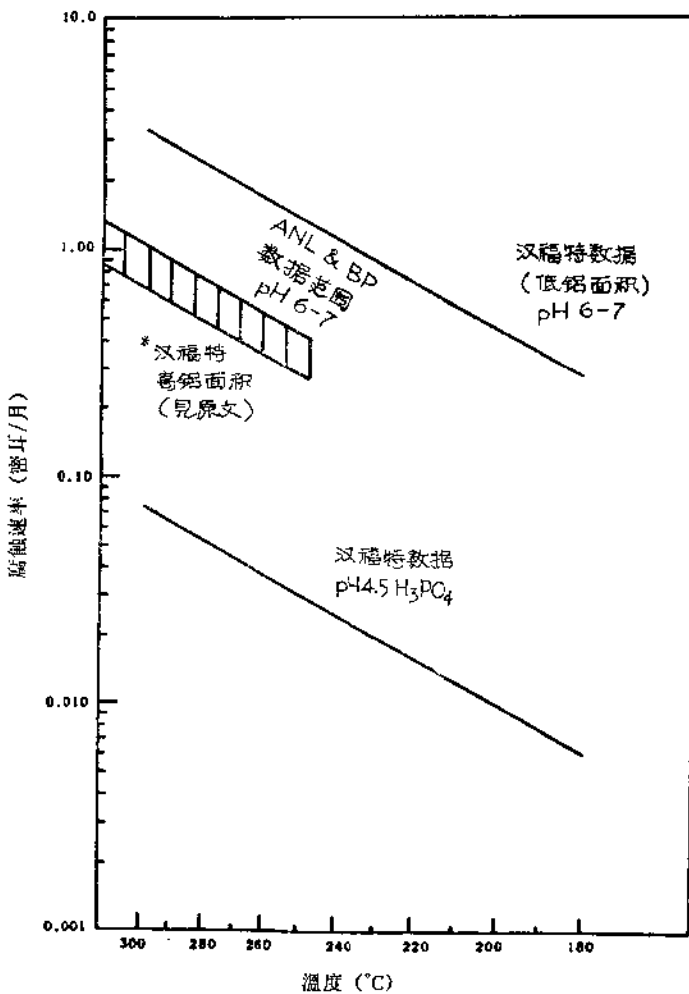


图 1 铝-镁合金在堆外动水迴路中的腐蚀速度

节里討論。阿貢，貝蒂斯，阿勃克与威尔可克斯，和汉福特發現了在任何溫度下，鋁都有一个最小腐蝕的 pH 值。这个“最小腐蝕 pH 值”随着溫度的升高而降低。大部工作是与磷酸方面研究有关；但是在汉福特研究了 HNO_3 和 H_2CO_3 的影响，同样也研究了 H_3PO_4 的影响。在这些緩蝕剂当中 H_3PO_4 远比 HNO_3 和 H_2CO_3 为好，因为前者有足够的浓度能产生与室溫下所測定的相同的 pH 值。

溫度高于 300°C 时，最小腐蝕的 pH 值位于 3.0 和 3.5 之間（室溫測得值）。然而，不銹鋼在 pH 約為 3.5 时开始发生晶間腐蝕。因此把实际最小的 pH 值确定在 4.5。图 1 表示典型腐蝕数据同溫度的关系。这些腐蝕数据是从堆外迴路的實驗而获得的。后来，試驗表明，堆內的腐蝕速率比堆外的要大，这是由于新的鋁腐蝕产物质量迁移时具有更大的推动力的結果。

研究發現均匀腐蝕速率按照阿侖繆斯方程隨溫度的增加而增加。所有合金至少在溫度达到 320°C 时也附合这个規律。在高于这个溫度时，某些合金溫度关系的系数为負值。在較高的溫度时之所以与阿侖繆斯方程不符合，是由于腐蝕机理发生了变化，而且生成了更有保护性的氧化膜。在 ANI 和 HAPO 都觀察到了这种現象。

四、緩 蝕 剂

研究了一些供中性或弱鹼性系統用的非酸性緩蝕剂，首先，該系統的优点主要是杂质含量較少，并且适合于碳鋼-鋁构件。試驗結果指出，通过在低 pH 值加入适当的緩蝕剂，就能够在溶液中同时使用鋁和碳鋼材料。溶液的 pH 值很高时，

加 SiO_2 緩蝕劑也好，不加緩蝕劑也好，在 290°C 時都會引起鋁合金迅速地溶解。在 pH 值為 7 時，估計重鉻酸鈉使碳鋼得到保護，在 pH 為 4.5 時，碳鋼和鋁都受到保護（用 HNO_3 調節 pH 值）。在 $200\text{--}300^{\circ}\text{C}$ 時研究過的濃度為 50 ppm。最後還需要確定這種緩蝕劑在反應堆系統中的實用性。

五、熱傳遞

當腐蝕的鋁表面也是傳熱表面時，金屬的本身溫度高於周圍水的溫度。溫度升高是由於靠周圍的水膜和腐蝕產物膜都產生溫度梯度的結果。穿過水膜的溫度梯度可以利用合適的熱傳遞方程式計算到一定的精確度。但是，由於腐蝕產物膜的厚度和導熱系數一般是不知道的，故該膜的溫度梯度目前只能進行估算。已經利用設置在釋熱元件表面的熱電偶來測量這些溫度。 HAPO 在堆內和堆外已完成了這些熱電偶的試驗工作。橡樹嶺國立實驗室也會在堆外迴路中做了熱傳遞的試驗，並用熱電偶測量了這些溫度降。

在漢福特所作的一次堆內試驗時，把數個熱電偶插進燃料元件里，然後測量這些膜的溫度梯度。試驗是在高純水中進行的，水中加入了足夠的磷酸緩蝕劑，使 pH 值降到 4.5。試驗發現：利用熱電偶測得的溫度，在經過約 1000 小時的暴露之後，上升到最大值。根據這些試驗的數據可得：

$$\Delta T_m = \Delta T_f + 2 \times 10^{-4} \frac{Q}{A}$$

式中： ΔT_m = 從金屬表面到流水主體的最大溫度降， $^{\circ}\text{F}$ 。

ΔT_f = 根據 Seider-Tate 方程計算出來的水膜溫度梯度 ($\Delta T'$)。

$$\frac{Q}{A} = \text{热通量, 英热单位 (Btu) / (小时) · (呎}^2)$$

非常有趣的是在堆外进行的相似实验表明, 上述温度关系并不成立。如果 pH 和温度可以比较, 那么在热传递的条件下腐蚀速率(和腐蚀产物的厚度)在堆内或堆外的都可以进行比较。因此, 堆内测得的温度升高可能是由于杂质所引起的“屏蔽作用”。堆内试验时必须特别注意燃料元件上杂质的大量沉积。

美国橡树岭国立实验室曾作了短期的试验(10天), 试验时把1100和6061铝合金放在60—90°C的去离子水中, 在热通量为 1.5×10^6 英国热单位/时·呎²的条件下进行了试验。试验指出, 金属铝的温度在整个10天时间内一直是上升的; 并发现金属温度的这种增加是水温和pH值的函数。这两个变量都会影响腐蚀产物的厚度。当水温达到80°C和pH值为7.0时, 在10天的时间里温度上升100—150°C。在pH为5的条件下, 温度仅上升15—20°C。根据温度增加和腐蚀产物厚度的关系, 得出氧化物的导热系数为1.1 英热单位/小时·呎²·°F, 这个值同在汉福特通过对热传递下腐蚀数据的经验证分析而得到的1.4 英热单位/时·呎²·°F值差不多。

阿贡, 汉福特和加拿大原子能公司报导了铝包壳的燃料元件和热传递试样腐蚀速率的测量情况。由于缺乏真实的腐蚀温度方面的资料, 研制了一些经验方法, 以便表明给定系统中腐蚀和比功率的关系。有一种方法是把足够大的温度降加到计算得出的表面温度上去, 以求出所要观察的腐蚀速率。

这里應該明确指出，不能根据水膜，氧化物和杂质的溫度降來简单地計算金属的溫度，也不能利用这个溫度依据堆外的数据來預言堆內的腐蝕速率。燃料元件表面的溫度（不同的試样(Coupons)），通常比释热面附近主体的水溫要高。这意味着对质量传递有一个較大的推动力。在堆外迴路里水被新的腐蝕产物飽和是可能的，同时也显示出低的腐蝕速率。但在堆內这是不可能的。腐蝕产物溶解的影响将在以后的章节詳加討論。

六、水流速度

研究了从 0—60 呎/秒或更大的流速范围。一般說来，流速大于 2—4 呎/秒可以看作动态，在这种条件下，腐蝕产物达到一定的平衡厚度，腐蝕量和時間是綫性关系。在靜态或“更換”水的試驗里，腐蝕产物膜繼續成長，腐蝕速度随着時間延长而减少。关于流速对于动态范围内腐蝕的影响是有些爭論的。阿貢實驗室在 7 呎/秒和 18 呎/秒下所作的試驗一致表明，在 18 呎/秒时腐蝕較大，其腐蝕速率平均約為 7 呎/秒时的 1.5 倍。其它单位如阿利斯-卡尔曼制造公司，橡树岭試驗室和汉福特发现了在流速高达 40 呎/秒时腐蝕变化很小。汉福特的試驗指出，在能够生成致密氧化物膜条件下（即 $\text{pH}=4.5$ ）和流速达 64 呎/秒时也沒有发生异常的影响。然而，假如氧化物膜脱落，那么在此流速时腐蝕为原来的二倍。同样，橡树岭實驗室在流速为 67 呎/秒下进行了試驗，10 天之內沒有发现显著的差別。但是，在 67—107 呎/秒的流速范围内，腐蝕为原来的 2—4 倍。

一般說来，在流速不太大时 (<60 呎/秒)，流速的侵蝕

效应是微不足道的。然而，在高流速时，由于溶解的鋁腐蝕产物扩散加快，从而提高了传热表面上氧化物保护膜的溶解度。另一方面，由于提高了水膜的导热系数，流速的增加将会降低金属传热表面的溫度，結果，这两种效应被平衡掉了。

七、辐 照

关于輻照效应方面可利用的数据是十分粗略的。阿貢實驗室发表了 X-8001 合金在材料試驗堆 (MTR) 中于 149—243°C 的去离子水中的輻照情况。初始裝入的試样一致表明受反应堆輻照的那些試样比放在堆外区域輻照的試样具有較少的腐蝕。对取代試样而言其影响也是不一致的。汉福特在 195°C 和調節到 pH 为 5 的去离子水中进行的試驗表明，对經反应堆最大通量輻照的样品比暴露在通量为零时的样品增加約 30%。最近的試驗是在溫度为 180—200°C 的条件下，于去离子水中完成的，去离子水用 H_3PO_4 調節 pH 值到 4.5。这些試驗表明，輻照的影响是很微小的。

輻照所产生的任何损伤多半是由于水中形成的腐蝕产物，或者由于輻照损伤了氧化物保护膜而引起的。这两种效应在高溫时都倾向于減弱。另外，在水中輻照时所引起的腐蝕产物的量与水中所含杂质有关。因此，高純水不易証明輻照效应。在汉福特曾觀察到相当不純的水在比較低的溫度下 (90—100°C) 有显著影响。但是在分析現有的数据时 可以看出，輻照效应在高溫循环水系統中是很小的。

八、鋁腐蝕产物溶解度的影响

虽然試驗是在相同的 pH，溫度，流速和水质条件下完

成的，但是把各地获得的最初动态腐蚀数据作一比较，发现有很大的差别。相反，静态腐蚀数据都是相当吻合的。当作堆内测量时，虽然没有辐照效应引起腐蚀速率之间的差别，但仍发现堆内腐蚀速率与堆外的腐蚀数据不一致。

汉福特的实验表明了流速在0—2呎/秒范围内有显著的影响。假定被稍为溶解的铝腐蚀产物饱和了的水能够抑制进一步腐蚀。在水流速度十分低的高压釜中，靠近腐蚀表面的水是能够被溶解的铝腐蚀产物所饱和的，腐蚀速率则应当降低。当试验暴露在流动水中时靠近腐蚀表面溶解的铝时腐蚀产物的浓度低于饱和浓度，而且该浓度的大小取决于铝表面积、水的更换速度和水的净化速度。

一些试验评价了上述这种理论，在水中添加了硫酸铝，但研究的浓度保持在0.10 ppm以下，以免影响pH值。在这样的条件下没有观察到铝离子对腐蚀的影响。产生相反结果的原因，是由于铝的最初浓度低，或者由于与硫酸根离子起络合作用而除去铝。

当铝的腐蚀表面由于填加铝屑而增大时，试样的腐蚀速率则大大降低。此外，还观察到：当迴路中试样减少时腐蚀速率升高了。这种影响的机理如下：铝腐蚀时，形成了层状的腐蚀膜，在任何一点上所发现的氧化物乃是温度，辐照，与水接触的时间和合金成分的函数。铝离子(aluminum species)从紧靠着金属的“致密”薄膜向表面扩散，氧离子或氢氧根离子通过主体氧化物向金属扩散。因而腐蚀速率是取决于铝和氧离子这二者的扩散的。在静态系统，“致密”膜迅速地达到平衡厚度，主体氧化物则继续长大，主体氧化物的溶解是很小的，这样的条件使得腐蚀速率继续下降(抛物线

速率定律)。在动态系統中，主体氧化物的厚度达到了动平衡，腐蚀速率是线性的，氧化物的厚度被机械磨损和水的溶解所控制。同样，可以作出假定：腐蚀产生的氧化物由于选择性溶解产生了多孔结构。如果能够增加铝腐蚀产物在水中溶解的浓度，则主体氧化物的溶解速率就会降低。这样将可以生成更厚的更有保护性的氧化物，因而可以降低氧离子扩散和腐蚀速率。加大铝的面积有益于增加腐蚀产物在水中的溶解量。这种理论可以用来解释在热传递下腐蚀速率与等温下的腐蚀速率相比较的矛盾。也可以说明为什么在阿贡、贝蒂斯，诺尔斯的迴路中采用了较大的铝腐蚀面积与水体积的比值。试验所得到的腐蚀速率比在汉福特试验得到的数据要低。

加拿大原子能公司、阿贡、阿利斯-卡尔曼制造公司相继所进行的试验也证明了这种影响，同时车动水迴路中也发现，如果采用的试样具有很大的腐蚀面积，则放在上游的试样的腐蚀速率比下游的要高。腐蚀速率将随着水更换速度的增加而增加。但是，仅仅降低——迴路的净化速度或不进行迴路的净化并不能引起铝腐蚀产物的增加，因而也不能充分地降低腐蚀速度。有效铝离子可以复盖在加热器或迴路中热交换器部分上，铝离子老化以后就不再是有效的了。

九、今后的工作

今后的工作需要发展一种在300—350°C时有足够的强度和抗蚀性相当好的铝合金。阿贡国立实验室和通用电气公司研究所制造出一种高温强度极好的金属陶瓷铝合金。但是，由于加工上的问题，会使合金发生局部表面的腐蚀加速现象。

合适的燃料元件的設計可以不用鋁作为結構材料，而且，設計一种尺寸稳定的芯部也可以不需要高强度的合金。此外，在发展新的經過改善的鋁合金方面还要做許多工作。这种合金的腐蝕速率比現在采用的最好的合金的腐蝕速率还低。滿意的合金必須在整个感兴趣的溫度范围内（即室溫到 350°C 之間的所有溫度）具有較低的腐蝕速率。

当用 H_3PO_4 調节水的 pH 值时，可以大大提高鋁合金的抗腐蝕性能，但是，杂质的問題和放射性問題会引起付作用，因此，这种影响必須在磷酸的工业規模应用于反应堆之前給予充分的考慮。为了估价杂质問題的严重性，还需要做更多的工作，如有可能，也要研制一些合适的操作方法。在中性或低 pH 值系統中采用其它类型的緩蝕剂是可能的，但必須进行大量的研究工作，以評价它們的实用性。

最后，为了充分建立这些鋁合金的腐蝕机理，尙需要做更多的动态試驗。在模拟反应堆的条件下，应进行堆外迴路和堆內迴路的試驗，对于一些变量如热传递，輻照和鋁表面面积应給予充分的估价。

附 录

若干Al合金的成分

1100	99.0%* Al (最小值)
6061	1.0% Mg, 0.6% Si, 0.25% Cu, 0.25% Cr.
X-8001	1.0% Ni, 0.5% Fe, 0.2% Si.
M-400	1.0% Ni, 1.0% Fe, 0.2% Si.
X-2219	6.0% Cu, 0.3% Mn, 0.15% Fe, 0.10% V.

A-288	1.0%Ni, 0.5%Fe, 0.1%Ti, 0.002% Si (最大值)。
汉福特KY	1.8%Fe, 1.2%Ni, 在 99.995%Al 中熔铸 而成。

* 这里全是重量百分数

书号：核材-7031
定价：0.10 元
1967 年 7 月出版